

©1994 г.

## ТЕМПЕРАТУРНАЯ ЗАВИСИМОСТЬ ТУННЕЛЬНОГО ТОКА ЧЕРЕЗ МТДП СТРУКТУРУ

*В.Н.Добровольский, Г.К.Нинидзе, В.Н.Петрусенко*

Киевский университет им. Тараса Шевченко, Киев, Украина  
(Получена 16 июня 1993 г. Принята к печати 9 ноября 1993 г.)

В кремниевых МТДП структурах наблюдалась значительная температурная зависимость туннельного тока электронов из металла в полупроводник — в диапазоне  $50 \div 295$  К ток увеличивался в три раза. Увеличение тока объяснено заселением с ростом температуры электронами металла более высоких энергетических уровней с большими значениями коэффициента туннельной прозрачности барьера между металлом и полупроводником. Развита теория, результаты которой согласуются с экспериментом.

Туннельные токи электронов через слои диэлектриков в структурах металл-туннельно-прозрачный диэлектрик-полупроводник (МТДП) в большинстве случаев слабо зависят от температуры [1]. В отличие от этого нами наблюдалась значительная температурная зависимость туннельного тока электронов из металла в полупроводник. В статье приводятся результаты измерений этого тока, теоретических расчетов и сопоставление теории и эксперимента.

### 1. Экспериментальные результаты

Использовались образцы, такие же как в работе [2]. МТДП структуры были изготовлены на поверхности (111) пластины кремния *n*-типа проводимости с концентрацией доноров  $N_d = 1.3 \cdot 10^{15}$  см $^{-3}$ , толщиной окисла 2.4 нм по данным эллипсометрических измерений. Образцы имели круглые алюминиевые полевые электроды диаметрами 288 и 488 мкм. Толщина пластины составляла 250 мкм. На тыльной поверхности пластины втиранием индий-галлиевой пасты был создан омический контакт. В диапазоне температур  $50 \div 295$  К, т.е. от температуры вымораживания примесной проводимости до комнатной, снимались зависимости стационарного тока через структуру от напряжения на полевом электроде ( $V$ ). Как и в работе [2], при  $V < 0$  (запирающие напряжения) протекание тока было планарно неоднородным — его плотность у края полевого электрода была много больше, чем в центре. Поэтому была собрана схема, которая позволяла одновременно измерять токи

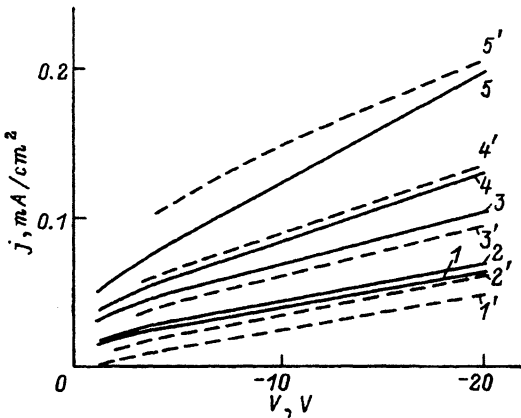


Рис. 1. Экспериментальные (1–5) и теоретические (1'–5') зависимости плотности тока  $j$  от напряжения  $V$  при разных температурах  $T$ , К:

1,1' — 50; 2,2' — 125; 3,3' — 200; 4,4' — 245;  
5,5' — 295.

через структуры с электродами разных диаметров и путем вычитания токов через край электрода [2] находить зависимость плотности тока  $j$  через центральную часть структуры от  $V$  — вольт-амперную характеристику (ВАХ). Такие ВАХ, записанные при разных температурах  $T$ , приведены на рис. 1.

При больших напряжениях  $j$  линейно растет с  $|V|$ . Согласно [2], такая зависимость характерна для туннельного тока электронов из металла в обедненный слой полупроводника в условиях отсутствия накопления в нем дырок. В использованном диапазоне температур при постоянном  $V$  ток изменяется приблизительно в 3 раза.

## 2. Теория

На рис. 2 приведена энергетическая диаграмма МТДП структуры. Здесь  $E$  — энергия электрона,  $E_c$  — энергия дна зоны проводимости в полупроводнике (ее значение на поверхности полупроводника  $E_c^s$  примем за нуль),  $E_{FM}$  и  $E_{FS}$  — уровни Ферми в металле и полупроводнике,  $q$  — заряд электрона,  $V_s$  и  $V_D$  — поверхностный потенциал и падение напряжения на диэлектрике,  $q\varphi_M$  и  $q\varphi_S$  — работы выхода электронов из металла и полупроводника,  $\Delta$  — разность энергий дна зоны про-

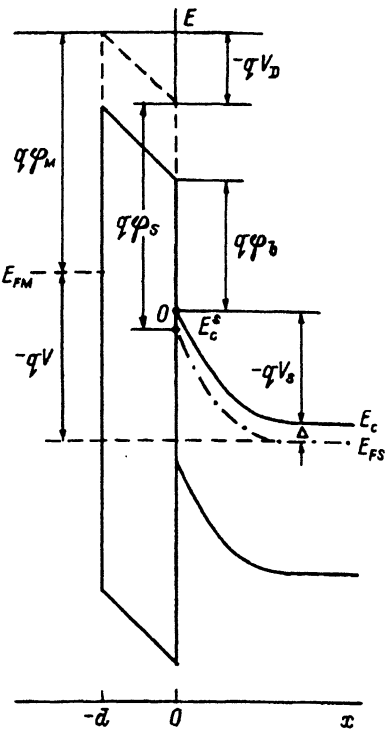


Рис. 2. Энергетическая диаграмма МТДП структуры.

водимости и уровня Ферми в объеме полупроводника,  $q\varphi_b$  — высота потенциального барьера на границе полупроводника и диэлектрика,  $d$  — толщина диэлектрика.

Туннельный ток электронов из металла в полупроводник [3]

$$j = B \int_0^{\infty} D_n(E_x) dE_x \int_0^{\infty} f_M(E) dE_t, \quad (1)$$

где  $B = 4\pi q m_n / h^3$ ,  $m_n$  — эффективная масса электронов в зоне проводимости полупроводника,  $h$  — постоянная Планка,  $D_n(E_x)$  — вероятность прохождения электрона через барьер,  $E_x$  и  $E_t$  — составляющие энергии электрона, связанные соответственно с его движением перпендикулярно барьера вдоль оси  $Ox$  и в параллельной ему плоскости.  $E = E_x + E_t$ ,  $f_M(E)$  — функция распределения Ферми–Дираха в металле.

Согласно (1), электроны с разными энергиями вносят различный вклад в  $j$  и поэтому изменение их энергетического распределения с  $T$  должно приводить к температурной зависимости тока. Однако такой механизм не учитывается в теории МТДП структур [4,5], так как в ней при вычислении  $j$  выносится за знак интеграла среднее значение  $\bar{D}_n$ , которое называется эффективной проницаемостью барьера для электронов.

Вычислим туннельный ток, не прибегая к указанному упрощению. В модели эффективного прямоугольного потенциального барьера с высотой  $q(\varphi_b - V_D/2)$  ( $V_D < 0$ ) [6]

$$D_n(E_x) = \exp \left\{ -\frac{2}{\hbar} d (2m_D [q(\varphi_b - V_D/2) - E_x])^{1/2} \right\}, \quad (2)$$

где  $m_D$  — эффективная масса электронов в диэлектрике,  $\hbar = h/2\pi$ . Для  $E_x$ ,  $|qV_D| \ll q\varphi_b$ , что обычно выполняется в структурах с туннельным токопереносом через барьер,

$$[q(\varphi_b - V_D/2) - E_x]^{1/2} \approx (q\varphi_b)^{1/2} \left( 1 - \frac{qV_D/2 + E_x}{2q\varphi_b} \right).$$

Непосредственно из энергетической диаграммы следует

$$E_{FM} = -q\varphi_{MS} - \Delta - qV_D, \quad \varphi_{MS} = \varphi_M - \varphi_S. \quad (3)$$

Из записанных формул получаем

$$D_n(E_x) = D_{n0} \exp \left( \frac{qV_D}{2E_0} \right) \exp \left( \frac{E_x}{E_0} \right) \quad (4)$$

$$D_{n0} = \exp \left[ -\frac{2}{\hbar} d (2qm_D \varphi_b)^{1/2} \right], \quad E_0 = \frac{\hbar(q\varphi_b)^{1/2}}{d(2m_D)^{1/2}}. \quad (5)$$

Подставим выражение (4) в (1), воспользовавшись равенством

$$\exp\left(\frac{E_x}{E_0}\right) = \sum_{i=0}^{\infty} \frac{1}{i!} \left(\frac{E_x}{E_0}\right)^i.$$

После интегрирования получаем

$$j = BD_{n0} \exp\left(\frac{qV_D}{2E_0}\right) (kT)^2 \sum_{i=1}^{\infty} \left(\frac{kT}{E_0}\right)^{i-1} F_i(\eta), \quad (6)$$

где  $F_i(\eta)$  — интеграл Ферми-Дирака с индексом  $i$  [7],  $\eta = E_{FM}/kT$ . Отметим, что формула (6) подобна выражениям для плотности тока, полученным в [8,9] и записанным в ином виде.

Выражение (6) представим как

$$j = \frac{1}{4} q v_n N_c \bar{D}_n F_1(\eta), \quad (7)$$

$$\bar{D}_n = D_{n0} \exp\left(\frac{qV_D}{2E_0}\right) \left[ 1 + \frac{1}{F_1(\eta)} \sum_{i=2}^{\infty} \left(\frac{kT}{E_0}\right)^{i-1} F_i(\eta) \right], \quad (8)$$

где  $v_n$  — средняя тепловая скорость электронов в полупроводнике,  $N_c$  — эффективная плотность состояний электронов в его зоне проводимости. Из сопоставления выражения (7) с имеющим такой же вид выражением теории МТДП структур [4,5] следует, что  $\bar{D}_n$  представляет собой эффективную проницаемость барьера для электронов. В общем случае она зависит от температуры и падения напряжения на диэлектрике. При выполнении неравенств  $E_0 \gg E_{FM} \gg kT$ ,  $E_0 \gg |qV_D|$  эта зависимость исчезает, а  $\bar{D}_n = D_{n0}$ .

В МТДП структурах значительный ток протекает только в случае

$$\eta > 1. \quad (9)$$

При выполнении этого неравенства

$$F_i(\eta) = \frac{\eta^{i+1} [1 + R_i(\eta)]}{\Gamma(i+1)}, \quad (10)$$

где

$$R_i(\eta) = \sum_{r=1}^{\infty} \frac{\alpha_r \Gamma(i+2)}{\eta^{2r} \Gamma(i+2-2r)}, \quad \alpha_r = \frac{(2\pi)^{2r} [1 - 2^{(1-2r)}]}{\Gamma(2r+1)} |B_{2r}|,$$

$\Gamma(i) = (i-1)!$  — гамма-функция,  $B_{2r}$  — числа Бернулли с индексом  $2r$  [7].

После подстановки значений гамма-функций и чисел Бернулли в выражение (10) и последующей подстановки результата в (6), воспользовавшись равенством

$$\sum_{i=0}^{\infty} \frac{1}{i!} \left(\frac{E_{FM}}{E_0}\right)^i = \exp\left(\frac{E_{FM}}{E_0}\right),$$

получаем

$$j = BE_0^2 D_{n0} \exp\left(\frac{qV_D}{2E_0}\right) \left\{ \left[ 1 + \sum_{r=1}^{\infty} \alpha_r \left( \frac{kT}{E_0} \right)^{2r} \right] \exp\left(\frac{E_{FM}}{E_0}\right) - 1 - \frac{E_{FM}}{E_0} \right\}. \quad (11)$$

Первые четыре значения коэффициентов  $\alpha_r$  в (10) соответственно равны  $\pi^2/6 = 1.64$ ,  $7\pi^4/360 = 1.89$ ,  $31\pi^6/15120 = 1.97$ ,  $127\pi^8/604800 = 1.99$ . Отметим, что  $\lim_{r \rightarrow \infty} \alpha_r = 2$ .

Дальше будем рассматривать лишь условия, когда выполняется неравенство (9), и считать, что поток электронов из металла в полупроводник много больше потока в обратном направлении. Поэтому выражение (11) дает полный ток через структуру. Для построения по нему вольт-амперных характеристик нужно знать связь  $E_{FM}$  и  $V_D$  с  $V$ .

Как и в работе [2], будем пренебрегать вкладом дырок в приповерхностный пространственный заряд. В этом случае из решения уравнения Пуассона в полупроводнике и условий сшивания напряженности электрического поля на границе полупроводника и диэлектрика можно получить

$$V_D = -2 \frac{kT}{q} \left( \frac{\varepsilon_S d}{\varepsilon_D \lambda} \right) \left( -\frac{qV_s}{kT} \right)^{1/2}, \quad (12)$$

где  $k$  — постоянная Больцмана,  $\varepsilon_S$  и  $\varepsilon_D$  — диэлектрические проницаемости полупроводника и диэлектрика,  $\lambda = (2\varepsilon_S \varepsilon_0 kT / q^2 N_D)^{1/2}$  — длина экранирования Дебая,  $\varepsilon_0$  — диэлектрическая проницаемость вакуума. Из (3) и (12) с учетом  $V_s \approx V$  получаем связь  $E_{FM}$  и  $V$ :

$$E_{FM} = -q\varphi_{MS} - \Delta + 2kT \left( \frac{\varepsilon_S d}{\varepsilon_D \lambda} \right) \left( -\frac{qV}{kT} \right)^{1/2}. \quad (13)$$

Сохраняя при больших напряжениях в правой части (13) только член, содержащий  $V$ , из (11), (13) находим выражение

$$j = \frac{1}{4} q v_n N_c \bar{D}_n \left[ 2 \left( \frac{\varepsilon_S d}{\varepsilon_D \lambda} \right)^2 \left( -\frac{qV}{kT} \right) + \frac{\pi^2}{6} \right]. \quad (14)$$

Оно совпадает с формулой для тока в случае больших напряжений, полученной в [2].

Если  $E_{FM} \gg E_0 \gg kT$ , то из (11) следует известное выражение [10]

$$j = BD_{n0} E_0^2 \exp\left(\frac{E_{FM}}{2E_0}\right) \left[ 1 + \frac{\pi^2}{6} \left( \frac{kT}{E_0} \right)^2 \right] \quad (15)$$

для тока через структуру металл–туннельно-прозрачный диэлектрик–металл при отсчете энергии от уровня Ферми металла, в который туннелируют электроны.

### 3. Сопоставление теории и эксперимента

По формулам (3), (11) и (13) для разных температур были построены приведенные на рис. 1 зависимости  $1' - 5'$  плотности тока  $j$  от  $V$ . Они начинаются со значений  $V$ , которым соответствует  $\eta = 1$ . Использованные при построении теоретических кривых значения  $E_0$ ,  $D_{n0}$  и разности энергии сродства электронов в полупроводнике и работы выхода в металле ( $-q\varphi_{MS} - \Delta$ ) подбирались из условия наилучшего согласия этих кривых с экспериментальными. Они таковы:  $E_0 = 0.035$  эВ,  $D_{n0} = 2.8 \cdot 10^{-12}$ , ( $-q\varphi_{MS} - \Delta$ ) =  $-0.01$  эВ. Из значений  $E_0$  и  $D_{n0}$  по формулам (5) определены значения высоты потенциального барьера  $q\varphi_b$  и эффективной массы электронов в диэлектрике  $m_D$ . Величина  $q\varphi_b = 0.47$  эВ лежит в пределах значений, полученных другими авторами (от 0.24 [6] до 3.2 эВ [4]), а  $m_D = 2.8 m_0$ , т.е. порядка массы свободного электрона  $m_0$ . Выбранное значение ( $-q\varphi_{MS} - \Delta$ ) лежит в пределах интервала ( $-1.2 + 2.3$ ) эВ, определенного по приводимым в литературе [1] значениям для  $q\varphi_M$  и  $q\varphi_S - \Delta$ .

Характерной особенностью как экспериментальных, так и теоретических кривых является линейная при больших  $|V|$  зависимость тока от напряжения. Согласно формуле (14), это означает, что в реализованных условиях эффективная проницаемость барьера для электронов  $\bar{D}_n$  не зависит от напряжения. В общем случае такая зависимость может иметь место.

По наклонам экспериментальных и теоретических кривых с помощью формулы (14) при разных температурах были определены значения  $\bar{D}_n$ . Они даются соответственно кривыми 1 и 2 на рис. 3, которые хорошо между собой согласуются.

В заключение отметим следующее. С ростом температуры электрона металла заселяют уровни с более высокими энергиями и большими значениями туннельной проницаемости барьера. Это в принципе всегда должно приводить к увеличению туннельного тока. Однако это увеличение может быть значительным только в том случае, если основной вклад в ток создает туннелирование электронов из максвелловского хвоста их распределения по энергиям. Именно такие условия реализовались в исследовавшихся структурах. Как показали расчеты, в рассматриваемом диапазоне напряжений уровень Ферми  $E_{FM}$  поднимался над энергией дна зоны проводимости на поверхности полупроводника  $E_c^s$  не более чем на 0.058 эВ при величине  $kT$ , изменявшейся с ростом температуры от 0.004 до 0.025 эВ.

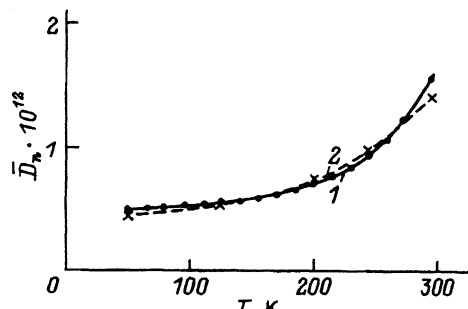


Рис. 3. Зависимости эффективного коэффициента туннельной проницаемости, полученные из наклона экспериментальных (1) и теоретических (2) зависимостей плотности тока от напряжения.

В работе [10] рассчитывалась температурная зависимость туннельного тока в структурах металл-туннельно-прозрачный диэлектрик-металл. С изменением температуры практически от нуля до 300 К туннельный ток изменялся всего на 16%. Значительно более слабая по сравнению с наблюдавшейся нами температурная зависимость тока в этом случае обусловлена относительно малым вкладом в ток электронов максвелловского хвоста.

### Список литературы

- [1] С. Зи. Физика полупроводниковых приборов, т. 1. М.: Мир (1984).
- [2] В.Н. Добровольский, В.Н. Ловейко, Г.К. Нинидзе, В.Н. Петрусенко. ФТП, 24, 1067 (1990).
- [3] К.Б. Дюк. В кн.: Туннельные явления в твердых телах, 131. М.: Мир (1973).
- [4] M.A. Green, J. Shewchun. Sol. St. Electron., 17, 349 (1974).
- [5] А.Я. Вуль, С.В. Козырев, В.И. Федоров. ФТП, 15, 142 (1981).
- [6] V. Kumar, W.E. Dahlke. Sol. St. Electron., 20, 143 (1977).
- [7] Дж. Блекмор. Статистика электронов в полупроводниках. М.: Мир (1964).
- [8] В.И. Стриха. Теоретические основы работы контакта металл-полупроводник. Киев: Наук. думка (1974).
- [9] А.В. Саченко, О.В. Снитко. Фотоэффекты в приповерхностных слоях полупроводников. Киев: Наук. думка (1984).
- [10] J.G. Simmons. J. Appl. Phys. 35, 2255 (1964).
- [11] В.С. Фоменко. Эмиссионные свойства материалов. Справочник. Киев: Наук. думка (1981).

Редактор Л.В.Шаронова

---